

# О МЕХАНИЗМЕ ОТРАЖЕНИЯ ЭЛЕКТРОНОВ С ИОНИЗАЦИОННЫМИ ПОТЕРЯМИ ЭНЕРГИИ ОТ ВТСП-КЕРАМИКИ

М. В. Гомоюнова, А. К. Григорьев, И. И. Пронин,  
А. Е. Роднянский

Ионизационная спектроскопия становится все более широко известным и распространенным методом исследования поверхности твердого тела [1]. Тем не менее механизм отражения электронов с ионизационными потерями энергии (ИПЭ) до последнего времени продолжает обсуждаться в литературе [2, 3]. Известны две основные модели явления, рассматривающие его либо как одноактный процесс неупругого рассеяния электронов при возбуждении оставшихся электронов твердого тела, сопровождаемый потерями энергии и изменением направления движения [4], либо как двухступенчатый процесс, при котором потери энергии являются результатом взаимодействия падающего электрона с оставшимся, а изменение импульса — следствием упругого рассеяния [5]. Наибольшее распространение получила вторая модель. Кроме того, в литературе имеются указания на возможность пространственного и временного перекрытия актов упругого и неупругого рассеяния [6, 7] — фактически третья модель. Важным моментом при рассмотрении возбуждения оставшихся электронов является также вопрос о применимости дипольного правила отбора [9]. С проблемой механизма отражения электронов с ИПЭ и их природой мы столкнулись при исследовании электронного строения ВТСП-керамики методом ионизационной спектроскопии [10]. Ее решению применительно к  $\text{YBa}_2\text{Cu}_3\text{O}_{7-x}$  и посвящена настоящая работа. Развитый в ней подход основан на сопоставлении угловых и энергетических распределений электронов, упруго рассеянных и отраженных с ИПЭ, что оказалось возможным при использовании вторично-электронного спектрометра с угловым разрешением.

Прибор, в котором проведен эксперимент, описан в [11]. Энергетическое разрешение анализатора составляло 0.4 %, а угловое разрешение —  $1^\circ$ . Измерения токов  $I$  отраженных электронов выполнены в режиме регистрации  $d(EN(E))/dE$ . Энергия  $E_p$  первичных электронов варьировалась в диапазоне 0.25—1 кэВ, а угол их падения  $\theta_{\text{пад}} = 45^\circ$ . Изучены ионизационные линии (ИЛ) с энергиями 96, 106 и 119 эВ (рис. 1), возникающие при возбуждении оставшихся 4d-электронов Ba. В последнем случае наряду с 4d-электронами возбуждаются также 5p-электроны Ba и, кроме того, около 5—10 % интенсивности ИЛ связано с переходами 3s-электронов Cu [10]. Поверхность образца очищалась в вакууме  $6 \times 10^{-9}$  Тор методом скрайбирования, а ее чистота контролировалась также методом ЭОС.

Результаты исследования угловых распределений  $I(\theta)$  электронов, отраженных упруго и с ИПЭ, для трех указанных ИЛ показаны на рис. 2. Видно, что качественный ход распределений одинаков, все они близки к симметричным относительно направления падения первичного пучка, обнаруживая возрастание тока с увеличением угла рассеяния. Для электронов, отраженных с ИПЭ, такой ход не согласуется с одностадийным механизмом, так как вероятность потери энергии  $\Delta E$ , при возбуждении оставшихся электронов уменьшается (а не возрастает) с ростом угла рассеяния  $\theta_p$ . В то же время одинаковый качественный ход угловых распределений, полученных для электронов, отраженных упруго и с ИПЭ, свидетельствует в пользу двухстадийного механизма отражения. Действительно, в исследованной области средних энергий дифференциальные сечения  $\sigma_y$  упругого рассеяния электронов на атомах имеют специфические особенности, в частности, проявляющиеся в виде максимумов рассеяния электронов в заднюю полусферу отражения, что мы наблюдали на эксперименте, и для электронов, отраженных с ИПЭ.

Специфика сечений  $\sigma_y$ , определяемая порядковым номером элемента [12, 13], позволяет проанализировать в случае соединений и упомянутую выше возможность одновременного протекания процессов упругого и неупругого рассеяния при взаимодействии с одним атомом. Рассмотрим это на нашем конкретном примере. Сечения  $\sigma_y$  для атомов Ba, в частности при  $E_p = 0.5$  кэВ, минимальны при угле рассеяния  $\theta_p = 140^\circ$  и превышают его в восемь раз при  $\theta_p = 130^\circ$ . Для остальных атомов, входящих в  $\text{YBa}_2\text{Cu}_3\text{O}_{7-x}$ , сечения  $\sigma_y$ , наоборот, близки к минимальным при  $\theta_p = 130^\circ$ , а угол  $\theta_p = 140^\circ$  соответствует области заметного возрастания сечений с ростом  $\theta_p$ . Поэтому если сравнить для данных двух углов токи  $I'_i$  и  $I''_i$  электронов с ИПЭ, обусловленные взаимодействием их с основными электронами Ba, то тогда, если процессы упругого и неупрятого рассеяния протекают одновременно на атомах Ba, токи  $I'_i$  и  $I''_i$  должны существенно различаться. Если же эти процессы происходят при взаимодействии

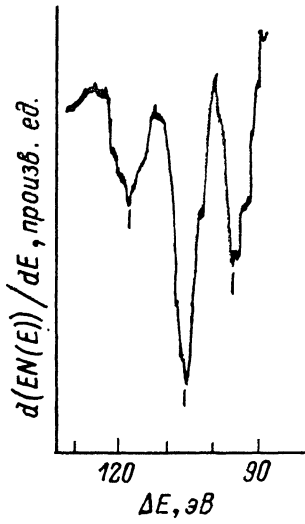


Рис. 1. Спектр ионизационных потерь энергии электронов для  $\text{YBa}_2\text{Cu}_3\text{O}_{7-x}$  в диапазоне  $\Delta E = 90-130$  эВ при энергии  $E_p = 0.5$  кэВ.

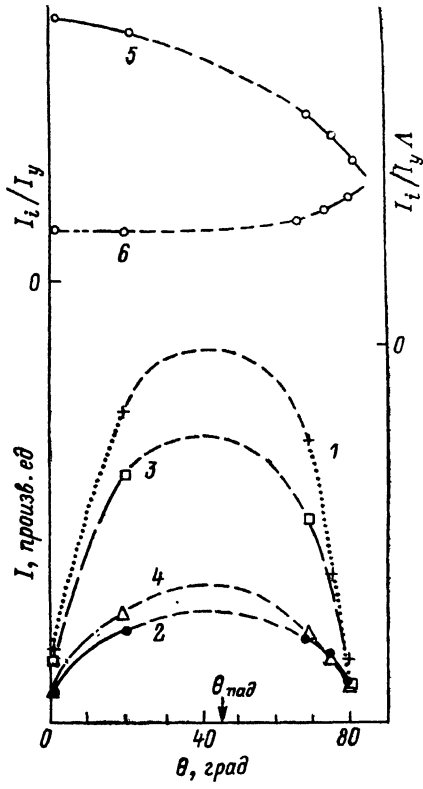


Рис. 2. Угловые распределения электронов, отраженных от  $\text{YBa}_2\text{Cu}_3\text{O}_{7-x}$  упруго (1) и с ионизационными потерями энергии (2–4).

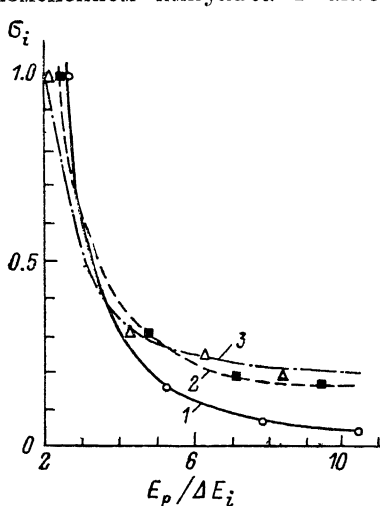
$\Delta E_i$ , эВ: 2 — 96, 3 — 106, 4 — 119. Кривые 5, 6 получены из кривой 3 нормированием ее на  $I_y \Delta$  соответственно. Пунктир — интерполированные участки кривых, соответствующие «мертвой зоне», которая возникает из-за затенения электронной пушки анализатором.

с разными атомами соединения, влияние «упругого» канала усреднится по разным атомам, и это приведет к значительному сглаживанию сравниваемых токов. Полученные данные показали, что  $I'_i \approx I''_i$ , а следовательно, для  $\text{YBa}_2\text{Cu}_3\text{O}_{7-x}$  в исследованном диапазоне  $E_p$  обсуждаемый механизм существенной роли не играет и отражение электронов с ИПЭ происходит в соответствии с двухступенчатой моделью при последовательном протекании двух элементарных актов.

Определим теперь, исходя из данной модели, ход зависимости сечений  $\sigma_i$  неупругого рассеяния электронов от их энергии. Для этого воспользуемся следующей формулой для тока  $I_i$  [1]:

$$I_i(E_p, \Delta E_i, \theta) \sim \sigma_i(E_p, \Delta E_i) I_y(E_p, \Delta E_i, \theta) \Delta(E_p, \Delta E_i, \theta), \quad (1)$$

где  $I_y$  — ток упруго отраженных электронов;  $\Lambda$  — средняя толщина зондируемого слоя. Зависимость для  $I_y$  и  $\Lambda$  от  $\Delta E_i$  появляется вследствие учета возможности двоякого последовательного протекания упругого и неупругого рассеяния электронов [1]. Из (1) следует, что для выделения хода зависимости  $\sigma_i(E_p)$  ток  $I_i$  должен быть нормирован на  $I_y$  и  $\Lambda$ . Значения  $\Lambda$  определялись согласно [1]. Требуемые для этого средние длины свободного пробега  $\lambda$  электронов для неупругого рассеяния находились по формуле, полученной в [14] для оксидов. Заметим, что выполнение указанной выше процедуры нормировки углового распределения при фиксированной энергии  $E_p$ , позволяет более детально проанализировать правомерность используемой двухступенчатой модели, пренебрегающей изменением импульса в акте неупругого рассеяния, а следовательно,



и зависимостью сечения от угла вылета. Соответствующие кривые для  $\Delta E_i = 106$  эВ показаны на рис. 2, б. Действительно, в пределах погрешностей измерений можно говорить о неизменности сечения  $\sigma_i$ . Аналогичные результаты получены и для других ИПЭ.

Искомые энергетические зависимости  $\sigma_i(E_p)$  для трех ИПЭ иллюстрирует рис. 3, где показаны такие данные для  $\theta = 23^\circ$ . Как и следовало ожи-

Рис. 3. Ход энергетических зависимостей сечений неупругого рассеяния электронов  $\sigma_i$  (в отн. ед.).

$\sigma_i = 1$  при  $E_p = 0.25$  кэВ  $\Delta E_i = 96$  (1), 106 (2) и 119 эВ (3).

даться, сечения  $\sigma_i$  уменьшаются с ростом энергии. Обращает на себя внимание заметно более резкий ход зависимости для ИЛ с  $\Delta E_i = 96$  эВ, что мы связываем с нарушением дипольного правила отбора при данном возбуждении 4d-электронов Ва [10]. Для двух других ИПЭ ход зависимостей близок. При этом для переходов с  $\Delta E_i = 106$  эВ правила отбора выполняются, а в случае  $\Delta E_i = 119$  эВ переход является многоэлектронным с возбуждением двух электронов Ва (4d и 5p).

Таким образом, в настоящей работе путем сопоставления угловых распределений электронов, отраженных упруго и с ИПЭ, доказана двухступенчатость процесса отражения электронов с ИПЭ и показан более быстрый спад сечений неупругого рассеяния электронов при возбуждениях остальных электронов с нарушением дипольных правил отбора по сравнению с дипольными и многоэлектронными переходами, для которых энергетические зависимости близки.

#### Список литературы

- [1] Коваль И. Ф., Лысенко В. Н., Мельник П. В., Находкин Н. Г. Атлас ионизационных спектров. Киев, 1989. 232 с.
- [2] Коваль И. Ф., Лысенко В. Н., Мельник П. В., Находкин Н. Г. // Укр. физ. журн. 1987. Т. 32. № 2. С. 235—238.
- [3] Лысенко В. Н. // Автореф. канд. дис. Киев, 1989.
- [4] Gerlach R. L., DuCharme // Phys. Rev. A. 1972. V. 6. N 5. P. 1892—1901.
- [5] Находкин Н. Г., Мельник П. В., Коваль И. Ф. // Поверхность. 1982. № 5. С. 1—14.
- [6] Грачев Б. Д., Козловский С. С., Коробочки Ю. С., Минеев В. И. // ЖЭТФ. 1980. Т. 79. № 5. С. 1641—1648.
- [7] Rumyantsev V. V., Libenson B. N. // Ann. Phys. 1978. V. 111. N 1. P. 152—161.
- [8] Powell C. J., Erikson N. E. // Phys. Rev. Lett. 1983. V. 51. N 1. P. 61—64.
- [9] Strasser G., Rosina G., Matthew J. A. D., Netzer F. P. // J. Phys. F: Met. Phys. 1985. V. 15. N 3. P. 739—751.
- [10] Гомоюнова М. В., Григорьев А. К., Пронин И. И., Роднянский А. Е. // Письма в ЖТФ. 1990. Т. 16. № 11. С. 1—6.

- [11] Пронин И. И., Гомоюнова М. В., Бернацкий Д. И., Заславский С. Л. // ИТЭ. 1982. № 1. С. 175—178.
- [12] Fink M., Ingram J. // Atomic Data. 1972. V. 4. N 2. P. 129—209.
- [13] Gregory D., Fink M. // Atomic Data and Nuclear Data Tables. 1974. V. 14. N 1. P. 39—87.
- [14] Seah M. P. // Surf. and Inter. Anal. 1986. V. 9. N 1. P. 85—98.

Физико-технический институт  
им. А. Ф. Иоффе АН СССР  
Ленинград

Поступило в Редакцию  
16 марта 1990 г.

УДК 538.221

© Физика твердого тела, том 32, № 11, 1990  
Solid State Physics, vol. 32, N 11, 1990

## О ЗАКОНОМЕРНОСТЯХ ДВИЖЕНИЯ ДОМЕННЫХ ГРАНИЦ В РЕАЛЬНЫХ ПЛЕНКАХ ФЕРРИТОВ-ГРАНАТОВ

Димитр Йоргов, О. С. Колотов, В. А. Погожев

Один из основных механизмов перемагничивания магнитных материалов связан с движением доменных границ (ДГ). Движением ДГ определяются такие важные свойства магнетиков, как проницаемость, временные характеристики и т. д. Поэтому изучение закономерностей движения ДГ представляет большой интерес. Как известно, появление пленок ферритов-гранатов привело к интенсивному исследованию этой проблемы. В результате накоплен огромный, но во многом противоречивый материал [1-3]. Так, противоречивы данные о сопоставлении результатов теоретических и экспериментальных исследований закономерностей движения ДГ. Такое состояние обсуждаемой проблемы во многом объясняется широким разнообразием объектов исследования (ДГ квазиравновесных ЦМД, ДГ в градиентном поле, ДГ полосовых доменов и т. д.), разнообразием используемых экспериментальных методов исследования (в том числе таких, которые не обеспечивают достаточной точности определения скорости ДГ), неадекватностью используемых теоретических моделей, а также низкой точностью экспериментальных методов определения основных параметров пленок, используемых при теоретическом анализе движения ДГ. Наиболее принципиальные трудности вызывает вопрос о значении коэффициента затухания  $\alpha$ . Обычно  $\alpha$  измеряют с помощью ФМР. Однако, как это отмечалось еще Смитом [4], потери энергии при малоугловых колебаниях намагниченности при ФМР могут быть иными, чем при движении ДГ, когда направление намагниченности изменяется на  $180^\circ$ . Существенно и то, что в пленках ферритов-гранатов в опытах по ФМР используются частоты  $\sim 10^{11}$  Гц, тогда как движению ДГ соответствует спектр колебаний с существенно более низкими частотами.

Цель данного сообщения — обратить внимание на влияние еще одного фактора, связанного со слоистостью реальных пленок [5]. Наиболее очевидное проявление слоистости заключается в том, что наличие нескольких слоев с разными значениями намагниченности, эффективного поля анизотропии  $H_k$  и т. д. приводит к расширению линий ФМР и, следовательно, к увеличению измеренного значения  $\alpha$ . Таким образом, уже по этой причине реальные пленки ферритов-гранатов вряд ли являются подходящими объектами для проверки теорий движения ДГ.

Другое проявление слоистости не столь просто и понятно. Мы столкнулись с ним при изучении закономерностей движения динамических ДГ, возникающих в процессе импульсного перемагничивания пленок ферритов-гранатов. Исследовалась скорость движения ДГ, окружающих зародыш обратной намагниченности, возникающие на точечных дефектах. Исследования проводились во всем возможном интервале полей, который снизу ограничен значением поля  $H_{rp}$ , при котором достигается